

# Swin Transformer

<https://arxiv.org/pdf/2103.14030>

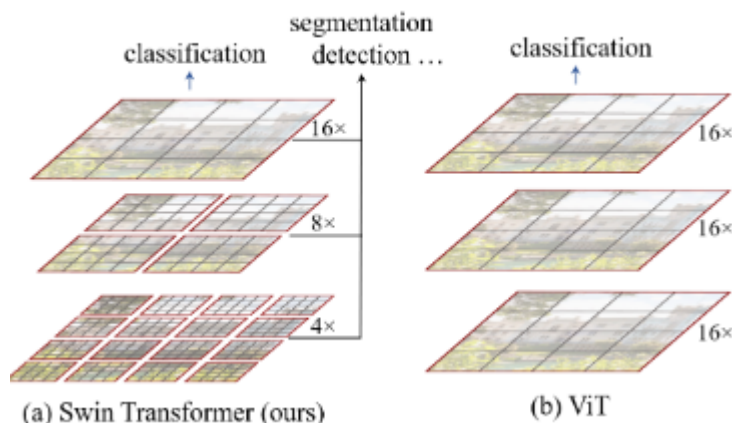
## 0. Introduction

- 기존 Vision Transformer는 계산 비용이 크고 detection·segmentation 적용이 어려움
- CNN은 계층 구조와 지역 정보 처리에서 여전히 강점 존재
- 본 논문은 Transformer에 계층 구조를 도입한 새로운 비전 backbone 제안
- 다양한 vision task에 범용적으로 사용 가능한 구조 제시가 핵심 기여

## 1. Overview

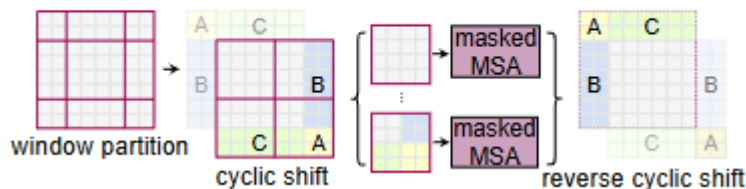
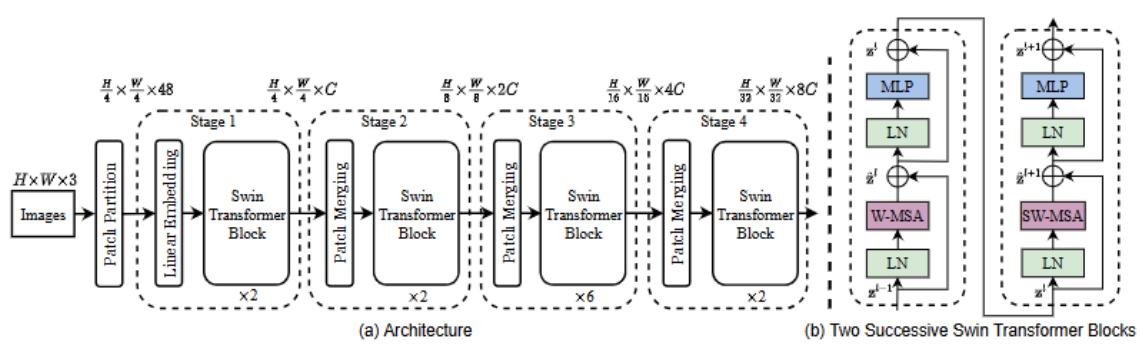
- 이미지를 계층적으로 처리하는 Hierarchical Transformer 구조 제안
- Window 단위 attention으로 계산량 감소
- Shifted Window 기법으로 window 간 정보 교환 가능
- classification, detection, segmentation 전반에서 사용 가능한 backbone 구조

## 2. Challenges



- 기존 ViT는 고해상도 이미지에서 계산량 급증
- detection·segmentation은 multi-scale feature 필요
- window 기반 처리 시 영역 간 정보 전달 제한 발생
- 계산 효율과 성능 균형 설계가 핵심 문제

### 3. Method



- 이미지를 patch 단위로 분할 후 단계적으로 resolution 감소
- 각 단계에서 window 기반 self-attention 수행
- 다음 layer에서 window 위치를 이동시키는 Shifted Window 적용
- 이를 통해 인접 영역 간 정보 교환 가능
- stage가 깊어질수록 feature resolution 감소, 채널 수 증가

### 4. Experiments

- ImageNet-1K classification 실험 수행
- COCO detection 및 instance segmentation 평가

- ADE20K semantic segmentation 실험 진행
- 기존 CNN 및 ViT backbone과 성능 비교
- Tiny, Small, Base, Large 모델 크기별 실험 수행

## 5. Results

(a) Regular ImageNet-1K trained models						
method	image size	#param.	FLOPs	throughput (image / s)	ImageNet top-1 acc.	
RegNetY-4G [48]	224 <sup>2</sup>	21M	4.0G	1156.7	80.0	
RegNetY-8G [48]	224 <sup>2</sup>	39M	8.0G	591.6	81.7	
RegNetY-16G [48]	224 <sup>2</sup>	84M	16.0G	334.7	82.9	
EffNet-B3 [58]	300 <sup>2</sup>	12M	1.8G	732.1	81.6	
EffNet-B4 [58]	380 <sup>2</sup>	19M	4.2G	349.4	82.9	
EffNet-B5 [58]	456 <sup>2</sup>	30M	9.9G	169.1	83.6	
EffNet-B6 [58]	528 <sup>2</sup>	43M	19.0G	96.9	84.0	
EffNet-B7 [58]	600 <sup>2</sup>	66M	37.0G	55.1	84.3	
ViT-B/16 [20]	384 <sup>2</sup>	86M	55.4G	85.9	77.9	
ViT-L/16 [20]	384 <sup>2</sup>	307M	190.7G	27.3	76.5	
DeiT-S [63]	224 <sup>2</sup>	22M	4.6G	940.4	79.8	
DeiT-B [63]	224 <sup>2</sup>	86M	17.5G	292.3	81.8	
DeiT-B [63]	384 <sup>2</sup>	86M	55.4G	85.9	83.1	
Swin-T	224 <sup>2</sup>	29M	4.5G	755.2	81.3	
Swin-S	224 <sup>2</sup>	50M	8.7G	436.9	83.0	
Swin-B	224 <sup>2</sup>	88M	15.4G	278.1	83.5	
Swin-B	384 <sup>2</sup>	88M	47.0G	84.7	84.5	
(b) ImageNet-22K pre-trained models						
method	image size	#param.	FLOPs	throughput (image / s)	ImageNet top-1 acc.	
R-101x3 [38]	384 <sup>2</sup>	388M	204.6G	-	84.4	
R-152x4 [38]	480 <sup>2</sup>	937M	840.5G	-	85.4	
ViT-B/16 [20]	384 <sup>2</sup>	86M	55.4G	85.9	84.0	
ViT-L/16 [20]	384 <sup>2</sup>	307M	190.7G	27.3	85.2	
Swin-B	224 <sup>2</sup>	88M	15.4G	278.1	85.2	
Swin-B	384 <sup>2</sup>	88M	47.0G	84.7	86.4	
Swin-L	384 <sup>2</sup>	197M	103.9G	42.1	87.3	

(a) Various frameworks									
Method	Backbone	AP <sup>box</sup>	AP <sup>box</sup> <sub>50</sub>	AP <sup>box</sup> <sub>75</sub>	#param.	FLOPs			
Cascade	R-50	46.3	64.3	50.5	82M	739G 18.0			
Mask R-CNN	Swin-T	<b>50.5</b>	<b>69.3</b>	<b>54.9</b>	86M	745G 15.3			
ATSS	R-50	43.5	61.9	47.0	32M	205G 28.3			
	Swin-T	<b>47.2</b>	<b>66.5</b>	<b>51.3</b>	36M	215G 22.3			
RepPointsV2	R-50	46.5	64.6	50.3	42M	274G 13.6			
	Swin-T	<b>50.0</b>	<b>68.5</b>	<b>54.2</b>	45M	283G 12.0			
Sparse	R-50	44.5	63.4	48.2	106M	166G 21.0			
	Swin-T	<b>47.9</b>	<b>67.3</b>	<b>52.3</b>	110M	172G 18.4			
(b) Various backbones w. Cascade Mask R-CNN									
		AP <sup>box</sup>	AP <sup>box</sup> <sub>50</sub>	AP <sup>box</sup> <sub>75</sub>	param	FLOPs			
DeiT-S†		48.0	67.2	51.7	41.4	64.2	44.3	80M	889G 10.4
R50		46.3	64.3	50.5	40.1	61.7	43.4	82M	739G 18.0
Swin-T		<b>50.5</b>	<b>69.3</b>	<b>54.9</b>	<b>43.7</b>	<b>66.6</b>	<b>47.1</b>	86M	745G 15.3
X101-32		48.1	66.5	52.4	41.6	63.9	45.2	101M	819G 12.8
Swin-S		<b>51.8</b>	<b>70.4</b>	<b>56.3</b>	<b>44.7</b>	<b>67.9</b>	<b>48.5</b>	107M	838G 12.0
X101-64		48.3	66.4	52.3	41.7	64.0	45.1	140M	972G 10.4
Swin-B		<b>51.9</b>	<b>70.9</b>	<b>56.5</b>	<b>45.0</b>	<b>68.4</b>	<b>48.7</b>	145M	982G 11.6
(c) System-level Comparison									
Method		mini-val		test-dev		#param.			
		AP <sup>box</sup>	AP <sup>mask</sup>	AP <sup>box</sup>	AP <sup>mask</sup>	FLOPs			
RepPointsV2*	[12]	-	-	52.1	-	-			
GCNet*	[7]	51.8	44.7	52.3	45.4	-	1041G		
RelationNet++*	[13]	-	-	52.7	-	-	-		
SpineNet-190	[21]	52.6	-	52.8	-	164M	1885G		
ResNeSt-200*	[78]	52.5	-	53.3	47.1	-	-		
EfficientDet-D7	[59]	54.4	-	55.1	-	77M	410G		
DetectoRS*	[46]	-	-	55.7	48.5	-	-		
YOLOv4 P7*	[4]	-	-	55.8	-	-	-		
Copy-paste	[26]	55.9	47.2	56.0	47.4	185M	1440G		
X101-64 (HTC++)		52.3	46.0	-	-	155M	1033G		
Swin-B (HTC++)		56.4	49.1	-	-	160M	1043G		
Swin-L (HTC++)		57.1	49.5	57.7	50.2	284M	1470G		
Swin-L (HTC++)*		<b>58.0</b>	<b>50.4</b>	<b>58.7</b>	<b>51.1</b>	284M	-		

ADE20K		val mIoU	test score	#param.	FLOPs	FPS
Method	Backbone					
DANet	[23]	ResNet-101	45.2	-	69M	1119G 15.2
DLab.v3+ [11]		ResNet-101	44.1	-	63M	1021G 16.0
ACNet	[24]	ResNet-101	45.9	38.5	-	-
DNL	[71]	ResNet-101	46.0	56.2	69M	1249G 14.8
OCRNet	[73]	ResNet-101	45.3	56.0	56M	923G 19.3
Upernet	[69]	ResNet-101	44.9	-	86M	1029G 20.1
OCRNet	[73]	HRNet-w48	45.7	-	71M	664G 12.5
DLab.v3+ [11]		ResNeSt-101	46.9	55.1	66M	1051G 11.9
DLab.v3+ [11]		ResNeSt-200	48.4	-	88M	1381G 8.1
SETR	[81]	T-Large <sup>‡</sup>	50.3	61.7	308M	-
Upernet		DeiT-S <sup>†</sup>	44.0	-	52M	1099G 16.2
Upernet		Swin-T	46.1	-	60M	945G 18.5
Upernet		Swin-S	49.3	-	81M	1038G 15.2
Upernet		Swin-B <sup>‡</sup>	51.6	-	121M	1841G 8.7
Upernet		Swin-L <sup>‡</sup>	<b>53.5</b>	<b>62.8</b>	234M	3230G 6.2

	ImageNet top-1	ImageNet top-5	COCO AP <sup>box</sup>	COCO AP <sup>mask</sup>	ADE20k mIoU
w/o shifting	80.2	95.1	47.7	41.5	43.3
shifted windows	<b>81.3</b>	<b>95.6</b>	<b>50.5</b>	<b>43.7</b>	<b>46.1</b>
no pos.	80.1	94.9	49.2	42.6	43.8
abs. pos.	80.5	95.2	49.0	42.4	43.2
abs.+rel. pos.	81.3	95.6	50.2	43.4	44.0
rel. pos. w/o app.	79.3	94.7	48.2	41.9	44.1
rel. pos.	<b>81.3</b>	<b>95.6</b>	<b>50.5</b>	<b>43.7</b>	<b>46.1</b>

	Backbone	ImageNet		COCO		ADE20k
		top-1	top-5	AP <sup>box</sup>	AP <sup>mask</sup>	mIoU
sliding window	Swin-T	81.4	95.6	50.2	43.5	45.8
Performer [14]	Swin-T	79.0	94.2	-	-	-
shifted window	Swin-T	81.3	95.6	50.5	43.7	46.1

method	MSA in a stage (ms)				Arch. (FPS)		
	S1	S2	S3	S4	T	S	B
sliding window (naive)	122.5	38.3	12.1	7.6	183	109	77
sliding window (kernel)	7.6	4.7	2.7	1.8	488	283	187
Performer [14]	4.8	2.8	1.8	1.5	638	370	241
window (w/o shifting)	2.8	1.7	1.2	0.9	770	444	280
shifted window (padding)	3.3	2.3	1.9	2.2	670	371	236
shifted window (cyclic)	3.0	1.9	1.3	1.0	755	437	278

- ImageNet classification에서 기존 CNN 및 ViT 대비 성능 개선
- COCO detection 및 segmentation에서도 성능 향상 확인
- segmentation task에서도 높은 mIoU 기록
- window attention으로 계산량 감소하면서 성능 유지
- 모델 크기 증가 시 성능 향상 폭 증가

## 6. Insight

- Transformer 구조에 CNN의 계층 구조 결합이 실전 문제에 효과적임을 보여줌
- hierarchical 구조와 local attention 조합이 핵심 설계 방향임을 제시
- 이후 많은 vision backbone 설계에 영향 제공
- 계산 효율과 global context 처리 균형이 향후 발전 방향으로 예상됨 추측입니다